

- по эксплуатации, МХО.232.024ТО.
 2. Сигнализаторы давления СПД, СПДМ и СПДМК. Техническое описание и инструкция по эксплуатации, МХО.232.027ТО.
 3. Ю. Н. Солодкин. Методы анализа и расчета динамических погрешностей первичных преобразователей при измерении периодических и одиночных импульсов. Канд. дисс. Новосибирск, 1969.

Поступило в редакцию
28 мая 1971 г.

УДК 621.317.6

А. Г. РОЗИН

(Тула)

К АНАЛИЗУ ОДНОЙ СХЕМЫ КОНТРОЛЯ ОТНОШЕНИЯ НАПРЯЖЕНИЙ

В акустической атометрии при контроле неравномерности частотных характеристик, коэффициентов передачи, коэффициента гармоник и т. д. измерительный процесс часто сводится к контролю отношения двух величин, например напряжений. Для этой цели в практике широкое применение получила схема трансформаторного сравнивающего устройства с диодно-емкостными запоминающими цепочками (рис. 1). Однако отсутствие анализа такой схемы не позволяло полностью использовать заложенные в ней возможности. Исследованию данной схемы и расширению ее возможностей и посвящено настоящее сообщение.

Схема, приведенная на рис. 1, позволяет вести контроль развернутой во времени зависимости огибающей напряжения по величине отношения (M) максимума к минимуму $M = \frac{U_{\text{вх},\text{max}}}{U_{\text{вх},\text{min}}}$. При этом на контролируемую последовательность напряжений накладывается одно ограничение: максимум должен предшествовать минимуму. Контролируемые напряжения подаются на вход трансформатора T_p , вторичные обмотки которого имеют такое соотношение чисел витков, чтобы выровнять минимальное напряжение с максимальным для заданного значения отношения напряжений. Меньшая по количеству витков вторичная обмотка w_2 подает сигнал на схему запоминания максимума, большая w_3 питает схему детектора огибающей.

В этом случае напряжение на конденсаторе C_1 схемы запоминания максимума равно

$$U_{\text{зап}} = U_{\text{вх},\text{max}} \frac{w_2}{w_1} K_{\text{дет.макс}}, \quad (1)$$

где $K_{\text{дет.макс}}$ — коэффициент передачи детектора максимума (пикового детектора). Напряжение же, выделяемое детектором огибающей, составляет

$$U_{\text{огиб}} = U_{\text{вх},\text{min}} \frac{w_3}{w_1} K_{\text{дет.мин}}, \quad (2)$$

где $K_{\text{дет.мин}}$ — коэффициент передачи детектора огибающей. Условие срабатывания схемы контроля имеет вид

$$U_{\text{зап}} - U_{\text{огиб}} \geq U_{\text{сраб}}, \quad (3)$$

где $U_{\text{сраб}}$ — порог чувствительности срабатывающего устройства (СУ). Подставляя в (3) выражения (1) и (2) и вводя обозначения:

$$\frac{K_{\text{дет.мин}}}{K_{\text{дет.макс}}} = q; \quad \frac{w_3}{w_1} = N; \quad \frac{U_{\text{сраб}}}{U_{\text{зап}}} = p, \quad (4)$$

после преобразования получим условие срабатывания в виде

$$M \geq \frac{q}{1-p} N. \quad (5)$$

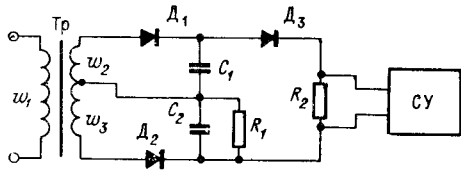


Рис. 1.

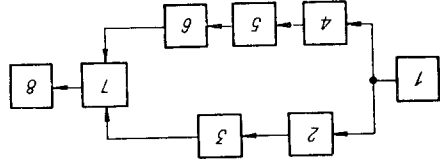


Рис. 2.

Как видно из формулы (5), при определенном N и фиксированной зоне нечувствительности СУ можно контролировать только одно значение отношения напряжений, причем с увеличением зоны нечувствительности СУ срабатывание происходит при большем отношении контролируемых напряжений.

Для того чтобы пороговое срабатывающее устройство не вносило существенной ошибки в работу рассматриваемой схемы, при расчете усиительной части следует стремиться к выполнению условия.

$$U_{\text{сраб}} \ll U_{\text{зап}}, \quad (6)$$

а некоторое упрощение построения схемы обеспечивается выполнением соотношения

$$q = 1 - p. \quad (7)$$

Расширение диапазона контролируемых отношений, что особенно важно в большинстве практических случаев, как видно из (6), может быть достигнуто несколькими путями: изменением коэффициентов передачи детекторов (q), вариацией соотношения N , управлением чувствительностью срабатывающего устройства. Второй способ является более перспективным, если обеспечить как дискретную, так и плавную перестройку соотношения N . Последнее легко реализуется путем разделения каналов усиления сигналов максимума и минимума с плавной регулировкой усиления в одном из них. Блок-схема такого варианта приведена на рис. 2, где 1 — входная цепь; 2 — усилитель максимума; 3 — детектор максимума; 4 — усилитель минимума; 5 — аттенюатор ступенчатый и плавный; 6 — генератор огибающей; 7 — сравнивающее устройство; 8 — срабатывающее устройство.

Схема контроля отношения напряжений должна иметь удовлетворительные метрологические характеристики в некотором диапазоне входного сигнала, например, уровня максимума, который обычно изменяется в 2—3 раза для данного множества контролируемых отношений напряжений. Чтобы охватить все множество возможных случаев, обозначим напряжение, заполненное детектором максимума, через $kU_{\text{зап}}$, где k — коэффициент, изменяющийся от 0 до ∞ .

Тогда условие настройки схемы с учетом (5) выразим так:

$$M = \frac{k}{k - p} Nq. \quad (8)$$

Погрешность настройки в зависимости от разброса уровня входного сигнала определяется разностью (5) и (8):

$$\Delta M = Nq \left[\frac{p(k-1)}{(1-p)(k-p)} \right]. \quad (9)$$

Результаты расчета погрешности настройки для $N=10$, $q=0,8$, $p=0,1$ сведены в таблицу и показаны на рис. 3.

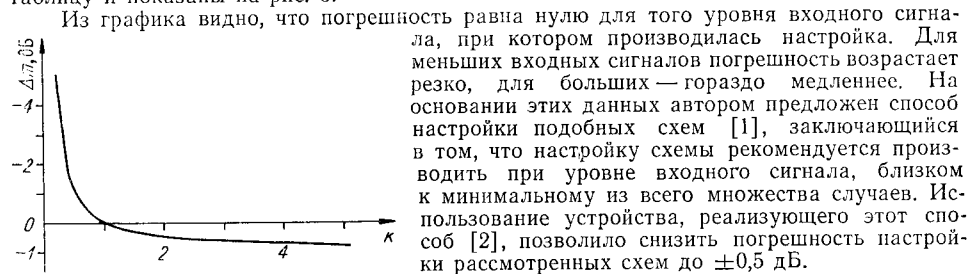


Рис. 3.

Из графика видно, что погрешность равна нулю для того уровня входного сигнала, при котором производилась настройка. Для меньших входных сигналов погрешность возрастает резко, для больших — гораздо медленнее. На основании этих данных автором предложен способ настройки подобных схем [1], заключающийся в том, что настройку схемы рекомендуется производить при уровне входного сигнала, близком к минимальному из всего множества случаев. Использование устройства, реализующего этот способ [2], позволило снизить погрешность настройки рассмотренных схем до $\pm 0,5$ дБ.

<i>k</i>	0,2	0,5	0,8	1	2	3	4	5
<i>M</i>	16	10	9,16	8,9	8,44	8,28	8,2	8,17
ΔM	-7,1	-1,1	-0,26	0	0,46	0,62	0,7	0,73
<i>m</i> , дБ	24,1	20	19,2	19	18,5	18,4	18,3	18,2
Δm , дБ	+5,1	+1,0	+0,2	0	-0,5	-0,6	-0,7	-0,8

ЛИТЕРАТУРА

1. А. Г. Розин. Настройка и проверка приборов автоматического контроля неравномерности частотных характеристик телефонов.—Измерительная техника, 1969, № 12.
2. А. Г. Розин. Устройство для настройки приборов автоматического контроля неравномерности частотных характеристик ЭАП. Авторское свидетельство № 266947.—ОИПОТЗ, 1970, № 12.

Поступило в редакцию
2 февраля 1971 г.,
окончательный вариант —
2 июня 1971 г.

УДК 536.51

Я. В. БОРИС, Б. В. КРИШТАЛЬ, О. А. КЮЗДЕНИ,
С. А. ПАНЧУК, С. И. ЯКОВЕНКО
(Львов)

МЕТРОЛОГИЧЕСКИЕ ОСОБЕННОСТИ КВАРЦЕВЫХ ТЕРМОМЕТРОВ С РАЗБРОСОМ ПО ТКЧ

Применение кварцевых резонаторов с большим температурным коэффициентом частоты в качестве датчиков температуры позволяет повысить на порядок точность измерения температуры (до $\pm 0,01^\circ\text{C}$ в диапазоне от -200 до $+400^\circ\text{C}$) и разрешающую способность (до 10^{-6}°C).

Однако применение таких термометров ограничено технологическими возможностями при их изготовлении. В настоящей статье рассматриваются вопросы упрощения изготовления кварцевых термометров с сохранением их высоких метрологических показателей.

Как известно [1, 2], зависимость частоты кварцевого термометра от измеряемой температуры выражается соотношением

$$F_p(T_{np}) = F_p(0) [1 + AT_{np} + BT_{np}^2 + CT_{np}^3], \quad (1)$$

A, B, C — коэффициенты, соответствующие трем видам колебаний кварцевого датчика температуры по толщине.

Свойства кварца зависят от ориентации элемента относительно его кристаллографических осей, и линейная зависимость частоты от температуры обеспечивается при срезе *LC* с углами $\alpha_{\text{хол}}/\Phi/\Theta$, где $\Phi=11,166^\circ$, $\Theta=9,393^\circ$ и (1) можно заменить тождественным уравнением:

$$F_p(T_{np}) = F_p(0) + \text{ТКЧ}(T_{np} - T_0). \quad (2)$$